

К определению упругих характеристик кристаллической решетки лонсдейлита при учете моментного взаимодействия между частицами

С.С. Хакало, А.М. Кривцов

В данной работе рассмотрена модель решетки лонсдейлита с учетом моментного взаимодействия между частицами. Получено выражение для макроскопического тензора жесткости решетки в моментной теории упругости. Осуществлен переход к безмоментной теории упругости и показано, что макроскопические упругие модули безмоментной теории зависят как от силовых, так и от моментных характеристик межатомного взаимодействия. Определены числовые значения упругих модулей лонсдейлита с использованием числовых значений жесткостей межатомного взаимодействия решетки алмаза. Проведено сравнение упругих характеристик лонсдейлита и алмаза.

1 Введение

Лонсдейлит или алмаз гексагональный — одна из аллотропных модификаций углерода. Открыт в 1966 году или ранее. Первая публикация в 1967 году [1]. Одновременно он обнаружен в природе, в метеоритном кратере. В настоящее время группе американских и китайских ученых удалось доказать, что самый твердый на сегодняшний день материал – специально обработанный лонсдейлит. Он оказался на 58% тверже алмаза. Лонсдейлит может выдержать нагрузку в 152 ГПа, в то время как алмаз – всего в 97 ГПа. Статья ученых появилась в журнале *Physical Review Letters* [2].

Алмаз и лонсдейлит имеют одинаковые валентные углы, которые равны $109^{\circ}28'16''$, длины связей у них равны 0,1545 нм, а координационное число – 4. Решетки алмаза и лонсдейлита отличаются способом упаковки. Для лонсдейлита характерна двухслойная упаковка типа (...ABAB...), где каждый последующий тетраэдрический слой повернут на 60° по отношению к предыдущему. Для алмаза – трехслойная типа (...ABCABC...), где все слои построены из одинаковых координационных тетраэдров (рис. 1).

2 Описание модели. Вывод формул

Кристаллическая решетка, для которой смещение на любые векторы, соединяющие узлы решетки, является тождественным преобразованием, называется про-

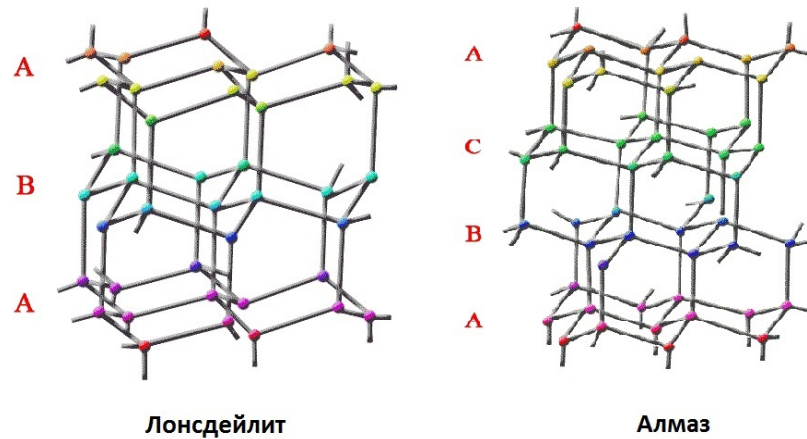


Рис. 1: Решетки лонсдейлита и алмаза

стой (одноатомной). В противном случае решетка называется сложной. Решетка лонсдейлита представляет собой сложную четырехатомную кристаллическую решетку, так как элементарная ячейка такой решетки содержит 4 атома.

Рассмотрим модель решетки лонсдейлита (рис. 2). Предполагается, что атомы взаимодействуют только с ближайшими соседями. Для описания упругих свойств решетки лонсдейлита будем использовать модель моментного взаимодействия между частицами [3]. Следствием моментного подхода является наличие поперечной жесткости c_D . То есть, взаимодействие между атомами

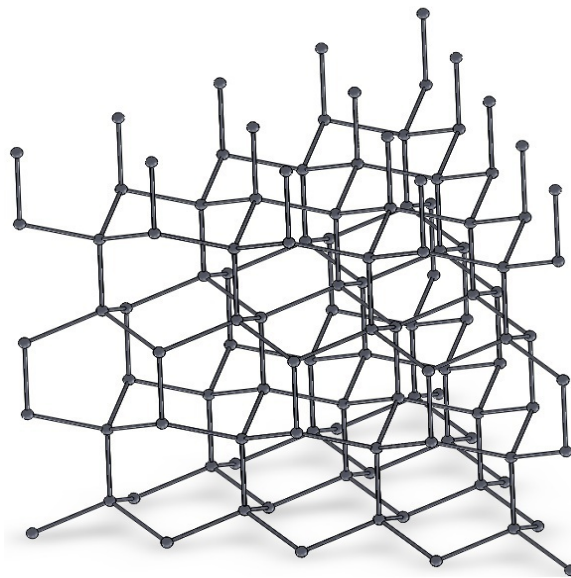


Рис. 2: Модель решетки лонсдейлита

моделируется с помощью стержней продольной и поперечной жесткости c_A и c_D соответственно. Рассмотрим некоторую элементарную ячейку, которую для удобства будем называть исходной (рис. 3).

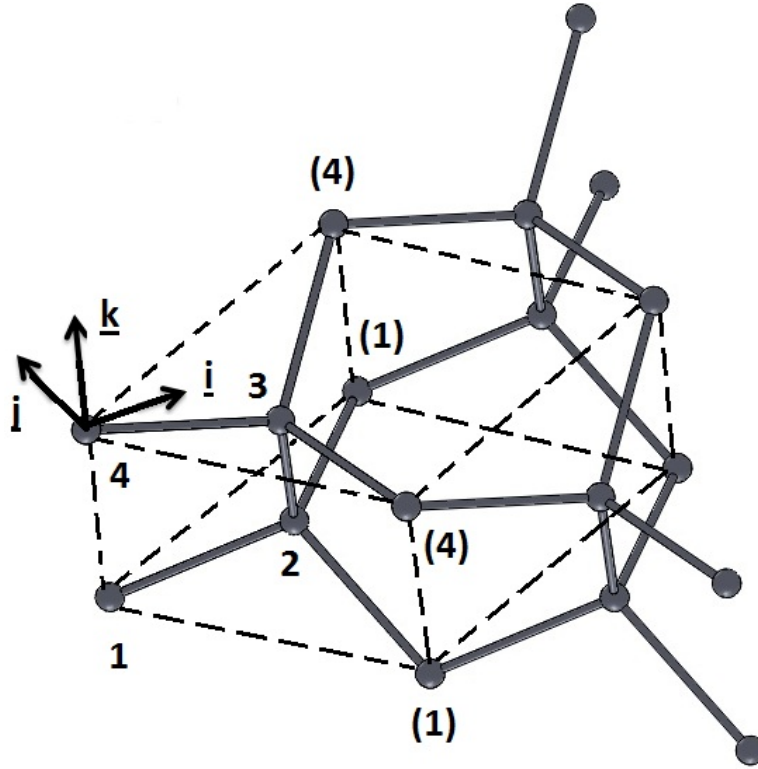


Рис. 3: Элементарная ячейка решетки лонсейлита

На рисунке 3 исходная ячейка ограничена штриховыми линиями и представлена в виде прямой призмы, основаниями которой являются ромбы (рис. 4).

Элементарная ячейка решетки лонсейлита содержит четыре атома. Пронумеруем все ячейки, в которых есть атомы, взаимодействующие с атомами исходной ячейки. Исходной ячейке присвоим номер $\alpha = 0$, остальным $\alpha = \pm 1$, $\alpha = \pm 2$, $\alpha = \pm 3$, так как таких ячеек в данном случае шесть. При этом нумерация производится так, чтобы ячейки, расположенные симметрично относительно исходной, имели индексы, противоположные по знаку. Частицы, входящие в каждую ячейку, пронумеруем индексами от 1 до 4. Обозначим $\mathbf{a}_{\alpha\beta}^\gamma$ — радиус-вектор, определяющий положение частицы β ячейки α относительно частицы γ исходной ячейки. А $\mathbf{n}_{\alpha\beta}^\gamma$ — орт, соответствующий вектору $\mathbf{a}_{\alpha\beta}^\gamma$.

Впишем базис так, чтобы орт \mathbf{k} был коллинеарен стержням, соединяющим атомы второго и третьего типа. Орт \mathbf{i} был компланарен плоскости, образованной атомами первого, второго, третьего и четвертого типа, и перпендикулярен орту \mathbf{k} . А орт \mathbf{j} впишем так, чтобы тройка векторов $\mathbf{i}, \mathbf{j}, \mathbf{k}$ образовывала правую тройку векторов. Тогда орты, задающие направления связей атомов четвертого типа с ближайшим окружением, могут быть представлены следующим образом

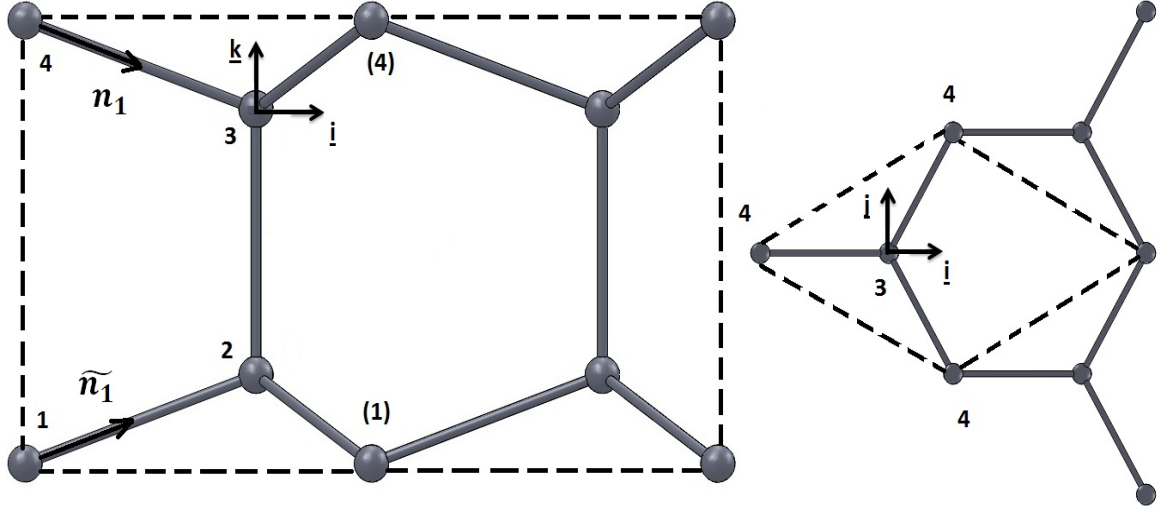


Рис. 4: Модель решетки лонсдейлита

$$\mathbf{n}_{03}^4 = \frac{2\sqrt{2}}{3}\mathbf{i} - \frac{1}{3}\mathbf{k} \stackrel{\text{def}}{=} \mathbf{n}_1, \quad \mathbf{n}_{13}^4 = -\frac{\sqrt{2}}{3}\mathbf{i} + \sqrt{\frac{2}{3}}\mathbf{j} - \frac{1}{3}\mathbf{k} \stackrel{\text{def}}{=} \mathbf{n}_2, \quad (1)$$

$$\mathbf{n}_{23}^4 = -\frac{\sqrt{2}}{3}\mathbf{i} - \sqrt{\frac{2}{3}}\mathbf{j} - \frac{1}{3}\mathbf{k} \stackrel{\text{def}}{=} \mathbf{n}_3, \quad \mathbf{n}_{31}^4 = \mathbf{k} \stackrel{\text{def}}{=} \mathbf{n}_4.$$

Орты, задающие направления связей атомов первого типа с ближайшим окружением, могут быть представлены следующим образом

$$\mathbf{n}_{02}^1 = \frac{2\sqrt{2}}{3}\mathbf{i} + \frac{1}{3}\mathbf{k} \stackrel{\text{def}}{=} \tilde{\mathbf{n}}_1, \quad \mathbf{n}_{12}^1 = -\frac{\sqrt{2}}{3}\mathbf{i} + \sqrt{\frac{2}{3}}\mathbf{j} + \frac{1}{3}\mathbf{k} \stackrel{\text{def}}{=} \tilde{\mathbf{n}}_2, \quad (2)$$

$$\mathbf{n}_{22}^1 = -\frac{\sqrt{2}}{3}\mathbf{i} - \sqrt{\frac{2}{3}}\mathbf{j} + \frac{1}{3}\mathbf{k} \stackrel{\text{def}}{=} \tilde{\mathbf{n}}_3, \quad \mathbf{n}_{-34}^1 = -\mathbf{k} \stackrel{\text{def}}{=} \tilde{\mathbf{n}}_4.$$

В силу геометрии решетки и следующего свойства радиус-векторов, а именно $\mathbf{a}_{-\alpha\beta}^\gamma = -\mathbf{a}_{\alpha\gamma}^\beta$, все оставшиеся орты направлений связей будут коллинеарны введенным ранее ортам \mathbf{n}_α , $\tilde{\mathbf{n}}_\beta$, где $\alpha, \beta = \overline{1, 4}$ а, значит, и выражены через них.

В работе [3] были получены следующие формулы для макроскопического тензора жесткости сложной решетки

$${}^4\mathbf{A} = {}^4\mathbf{A}^* + {}^4\mathbf{A}', \quad (3)$$

где

$${}^4\mathbf{A}^* = \frac{1}{2V_0} \sum_{\alpha, \beta, \gamma} \mathbf{a}_{\alpha\beta}^\gamma \mathbf{A}_{\alpha\beta}^\gamma \mathbf{a}_{\alpha\beta}^\gamma, \quad {}^4\mathbf{A}' = \sum_{\beta, \gamma} {}^3\mathbf{A}_\beta^\gamma \cdot [{}^3\mathbf{U}_\beta - {}^3\mathbf{U}_\gamma]^T. \quad (4)$$

Здесь ${}^4\mathbf{A}$, ${}^4\mathbf{A}^*$, ${}^4\mathbf{A}'$, ${}^3\mathbf{A}_{\alpha\beta}^\gamma$, $\mathbf{A}_{\alpha\beta}^\gamma$ — тензоры жесткости; ${}^3\mathbf{U}_\gamma$ — тензоры невязки; $\mathbf{a}_{\alpha\beta}^\gamma$ — векторы направления связи; V_0 — объем элементарной ячейки решетки. Тензоры

невязки ${}^3\mathbf{U}_\gamma$ определяются в результате решения системы 4 тензорных уравнений

$${}^3\mathbf{A}^\gamma + \sum_{\beta} \left[{}^3\mathbf{U}_\beta - {}^3\mathbf{U}_\gamma \right] \cdot \mathbf{A}_\beta^\gamma = 0. \quad (5)$$

Промежуточные тензоры жесткости определяются следующим образом

$${}^3\mathbf{A}^\gamma = \sum_{\beta} {}^3\mathbf{A}_{\beta}^\gamma, \quad {}^3\mathbf{A}_{\beta}^\gamma = \frac{1}{2V_0} \sum_{\alpha} \mathbf{a}_{\alpha\beta}^\gamma \mathbf{A}_{\alpha\beta}^\gamma, \quad \mathbf{A}_{\beta}^\gamma = \frac{1}{2V_0} \sum_{\alpha} \mathbf{A}_{\alpha\beta}^\gamma. \quad (6)$$

С учетом геометрии решетки лонсдейлита формула для тензора жесткости ${}^4\mathbf{A}'$ представима следующим образом

$${}^4\mathbf{A}' = -4 \left({}^3\mathbf{A}^1 \cdot \mathbf{U}_1^T + {}^3\mathbf{A}^4 \cdot \mathbf{U}_4^T \right). \quad (7)$$

Тензоры невязки \mathbf{U}_1^T и \mathbf{U}_4^T определены в результате решения системы уравнений (5) и имеют следующий вид

$$\mathbf{U}_1^T = \left\{ \left({}^3\mathbf{A}^1 + {}^3\mathbf{A}^4 \cdot (2\mathbf{A}_3^4 + \mathbf{A}_1^4)^{-1} \cdot \mathbf{A}_1^4 \right) \cdot \left[\mathbf{A}_1^4 \cdot (2\mathbf{A}_3^4 + \mathbf{A}_1^4)^{-1} \cdot \mathbf{A}_4^1 - 2\mathbf{A}_2^1 - \mathbf{A}_4^1 \right]^{-1} \right\}^T \quad (8)$$

$$\mathbf{U}_4^T = \left\{ \left[\mathbf{U}_1 \cdot (2\mathbf{A}_2^1 + \mathbf{A}_4^1) - {}^3\mathbf{A}^1 \right] \cdot (\mathbf{A}_4^1)^{-1} \right\}^T.$$

Тензоры жесткости межатомных связей [4] в общем виде можно представить как

$$\mathbf{A}_{\alpha\beta}^\gamma = c_A \mathbf{n}_{\alpha\beta}^\gamma \mathbf{n}_{\alpha\beta}^\gamma + c_D (\mathbf{E} - \mathbf{n}_{\alpha\beta}^\gamma \mathbf{n}_{\alpha\beta}^\gamma). \quad (9)$$

С учетом введенных ранее обозначений для ортов $\mathbf{n}_{\alpha\beta}^\gamma$ запишем тензоры жесткости межатомного взаимодействия для связей атомов четвертого типа с ближайшим окружением

$$\mathbf{A}_\alpha = c_A \mathbf{n}_\alpha \mathbf{n}_\alpha + c_D (\mathbf{E} - \mathbf{n}_\alpha \mathbf{n}_\alpha), \quad \alpha = \overline{1,4}, \quad (10)$$

для связей атомов первого типа с близлежащими атомами

$$\tilde{\mathbf{A}}_\beta = c_A \tilde{\mathbf{n}}_\beta \tilde{\mathbf{n}}_\beta + c_D (\mathbf{E} - \tilde{\mathbf{n}}_\beta \tilde{\mathbf{n}}_\beta), \quad \beta = \overline{1,4}, \quad (11)$$

Тогда с учетом геометрии решетки лонсдейлита тензор жесткости ${}^4\mathbf{A}^*$ можно представить в следующем виде

$${}^4\mathbf{A}^* = \frac{a^2}{V_0} \sum_{\alpha=1}^4 (\mathbf{n}_\alpha \mathbf{A}_\alpha \mathbf{n}_\alpha + \tilde{\mathbf{n}}_\alpha \tilde{\mathbf{A}}_\alpha \tilde{\mathbf{n}}_\alpha). \quad (12)$$

Подставив тензоры жесткостей межатомного взаимодействия (9), (10) и (11), а также орты направлений связей (1), (2) в формулы (7), (8) и (12), получаем выражения для тензоров жесткости ${}^4\mathbf{A}^*$ и ${}^4\mathbf{A}'$

$${}^4\mathbf{A}^* = \frac{8}{27} \frac{a^2}{V_0} (c_A - c_D) [2\tilde{\mathbf{I}}_1 + 2\tilde{\mathbf{I}}_{23} + \hat{\mathbf{I}}_1 + \hat{\mathbf{I}}_{23} + 7\mathbf{K}] + \frac{8}{3} \frac{a^2}{V_0} c_D [\tilde{\mathbf{I}}_2 + \hat{\mathbf{I}}_2 + \mathbf{K}],$$

(13)

$${}^4\mathbf{A}' = -\frac{8}{27} \frac{a^2}{V_0} \frac{(c_A - c_D)^2}{c_A + 2c_D} \left(8 \frac{c_A + 2c_D}{4c_A + 5c_D} [\tilde{\mathbf{I}}_{23} - \tilde{\mathbf{I}}_1] + \tilde{\mathbf{I}}_1 - 2\hat{\mathbf{I}}_1 + \hat{\mathbf{I}}_{23} + 4\mathbf{K} \right).$$

Где

$$\tilde{\mathbf{I}}_1 \stackrel{\text{def}}{=} \mathbf{e}_k \mathbf{e}_k \mathbf{e}_n \mathbf{e}_n, \quad \tilde{\mathbf{I}}_2 \stackrel{\text{def}}{=} \mathbf{e}_k \mathbf{e}_n \mathbf{e}_n \mathbf{e}_k, \quad \tilde{\mathbf{I}}_3 \stackrel{\text{def}}{=} \mathbf{e}_k \mathbf{e}_n \mathbf{e}_k \mathbf{e}_n, \quad \mathbf{K} \stackrel{\text{def}}{=} \mathbf{k} \mathbf{k} \mathbf{k} \mathbf{k}, \quad (14)$$

$$\hat{\mathbf{I}}_1 \stackrel{\text{def}}{=} \mathbf{k} \mathbf{k} \mathbf{e}_k \mathbf{e}_k + \mathbf{e}_n \mathbf{e}_n \mathbf{k} \mathbf{k}, \quad \hat{\mathbf{I}}_2 \stackrel{\text{def}}{=} \mathbf{k} \mathbf{e}_k \mathbf{e}_k \mathbf{k} + \mathbf{e}_n \mathbf{k} \mathbf{k} \mathbf{e}_n, \quad \hat{\mathbf{I}}_3 \stackrel{\text{def}}{=} \mathbf{e}_k \mathbf{k} \mathbf{e}_k \mathbf{k} + \mathbf{k} \mathbf{e}_n \mathbf{k} \mathbf{e}_n.$$

В формулах (13) $\tilde{\mathbf{I}}_{23} \stackrel{\text{def}}{=} \tilde{\mathbf{I}}_2 + \tilde{\mathbf{I}}_3$, $\hat{\mathbf{I}}_{23} \stackrel{\text{def}}{=} \hat{\mathbf{I}}_2 + \hat{\mathbf{I}}_3$. Орты \mathbf{e}_n перпендикулярны \mathbf{k} , где $n = \overline{1, 2}$. Вектора $\mathbf{e}_1, \mathbf{e}_2, \mathbf{k}$ образуют ортонормированный базис. В формулах выше ведется суммирование по повторяющемуся индексу.

Полученный макроскопический тензор жесткости ${}^4\mathbf{A} = {}^4\mathbf{A}^* + {}^4\mathbf{A}'$ выведен в предположении, что ... среды в моментной теории упругости. Находясь в рамках безмоментной теории упругости, необходимо произвести пересчет тензора жесткости ${}^4\mathbf{A}$ по следующей формуле

$${}^4\mathbf{C} = {}^4\mathbf{A} - {}^4\mathbf{A}_\times \cdot \left({}^4_\times \mathbf{A}_\times \right)^{-1} \cdot {}^4_\times \mathbf{A}, \quad (15)$$

где ${}^4\mathbf{C}$ — тензор жесткости среды в безмоментной теории упругости. Символ " \times " означает, что соответственные крайние векторы данного тензора умножаются векторно друг на друга

$$(\mathbf{abcd})_\times = \mathbf{abc} \times \mathbf{d}, \quad \times(\mathbf{abcd}) = \mathbf{a} \times \mathbf{bcd}, \quad \times(\mathbf{abcd})_\times = \mathbf{a} \times \mathbf{bc} \times \mathbf{d}. \quad (16)$$

Подставив в формулу (15) выражение для тензора ${}^4\mathbf{A}$, мы получим выражение для тензора жесткости ${}^4\mathbf{C}$ лонсдейлита в безмоментной теории упругости

$${}^4\mathbf{C} = C_{1122} \tilde{\mathbf{I}}_1 + C_{1212} \tilde{\mathbf{I}}_{23} + C_{1133} \hat{\mathbf{I}}_1 + C_{1313} \hat{\mathbf{I}}_{23} + C_{3333} \mathbf{K}. \quad (17)$$

Парам индексов поставим в соответствие один индекс. Тогда координаты тензора ${}^4\mathbf{C}$ можно записать в виде

$$C_{1122} \stackrel{\text{def}}{=} C_{12}, \quad C_{1212} \stackrel{\text{def}}{=} C_{66}, \quad C_{1133} \stackrel{\text{def}}{=} C_{13}, \quad C_{1313} \stackrel{\text{def}}{=} C_{55}, \quad C_{3333} \stackrel{\text{def}}{=} C_{33}. \quad (18)$$

Координаты тензора ${}^4\mathbf{C}$ через микропараметры решетки лонсдейлита выражаются следующим образом

$$C_{12} = \frac{8}{9} \frac{a^2}{V_0} (c_A - c_D) \frac{4c_A^2 + 11c_A c_D + 3c_D^2}{(c_A + 2c_D)(4c_A + 5c_D)}, \quad C_{66} = \frac{4}{3} \frac{a^2}{V_0} c_D \frac{8c_A + c_D}{4c_A + 5c_D}, \quad (19)$$

$$C_{13} = \frac{8}{9} \frac{a^2}{V_0} c_A \frac{c_A - c_D}{c_A + 2c_D}, \quad C_{55} = \frac{4}{9} \frac{a^2}{V_0} c_D \frac{5c_A + 4c_D}{c_A + 2c_D}, \quad C_{33} = \frac{8}{9} \frac{a^2}{V_0} c_A \frac{c_A + 8c_D}{c_A + 2c_D},$$

где c_A, c_D — жесткости межатомного взаимодействия, V_0 — объем элементарной ячейки решетки, a — расстояние между соседними атомами. Легко видеть, что упругий модуль C_{11} является линейной комбинацией модулей C_{12} и C_{66}

$$C_{11} = C_{12} + 2C_{66}. \quad (20)$$

3 Сравнение упругих характеристик лонсдейлита и алмаза

Как было сказано в первой части данной работы, решетки алмаза и лонсдейлита отличаются способом упаковки. Для лонсдейлита характерна двухслойная упаковка типа (...*ABAB*...), для алмаза – трехслойная типа (...*ABCABC*...), где все слои построены из одинаковых координационных тетраэдров (рис. 1). Алмаз является ортотропным материалом, то есть он имеет 3 взаимно перпендикулярные плоскости симметрии. Это хорошо показано на рисунке 5, где в качестве плоскостей симметрии выступают грани куба.

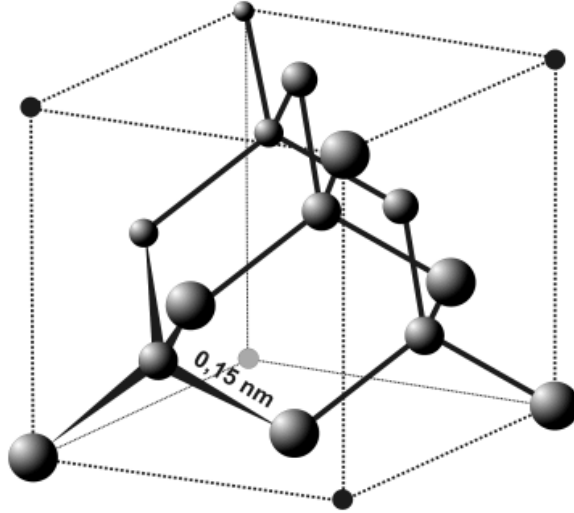


Рис. 5: Фрагмент кристаллической решетки алмаза

В работе [4] была получена следующая формула для тензора жесткости ортотропного материала

$${}^4\mathbf{C} = (C_{11} - C_{12} - 2C_{66})\mathbf{e}_k\mathbf{e}_k\mathbf{e}_k\mathbf{e}_k + C_{12}\mathbf{J}_1 + C_{66}\mathbf{J}_{23}, \quad (21)$$

где

$$\mathbf{J}_1 \stackrel{\text{def}}{=} \mathbf{e}_k\mathbf{e}_k\mathbf{e}_n\mathbf{e}_n, \quad \mathbf{J}_{23} \stackrel{\text{def}}{=} \mathbf{e}_k\mathbf{e}_n\mathbf{e}_n\mathbf{e}_k + \mathbf{e}_k\mathbf{e}_n\mathbf{e}_k\mathbf{e}_n.$$

Здесь ${}^4\mathbf{C}$ – макроскопический тензор жесткости ортотропного материала; \mathbf{J}_1 и \mathbf{J}_{23} – изотропные тензоры 4-го ранга; C_{11} , C_{12} и C_{66} – упругие характеристики материала; \mathbf{e}_k и \mathbf{e}_n – вектора ортонормированного базиса. Вид () тензор жесткости будет иметь при представлении его в главном базисе. Для алмаза главным будет базис, орты которого перпендикулярны плоскостям симметрии решетки.

В работе [5] была рассмотрена модель решетки алмаза при учете моментного взаимодействия. Данная модель учитывала взаимодействие ближайших атомов посредством стержней продольной жесткости c_A и поперечной жесткости c_D . Были получены выражения для координат C_{11} , C_{12} , C_{66} тензора жесткости через жесткости c_A и c_D

$$C_{11} = \frac{\sqrt{3}}{12a}(c_A + 2c_D), \quad C_{12} = \frac{\sqrt{3}}{12a}(c_A - c_D), \quad C_{66} = \frac{3\sqrt{3}}{8a} \frac{c_A c_D}{c_A + 2c_D}, \quad (22)$$

где a – межатомное расстояние.

Используя экспериментальные данные для упругих модулей алмаза (табл. 1),

C_{11} , ГПа	C_{12} , ГПа	C_{66} , ГПа	c_A , Н/м	c_D , Н/м	Источник
1076	275	519	578	285	[6]
1079	124	578	472	340	[7]
1080	125	577	473	340	[8]

Табл. 1: Экспериментальные значения упругих постоянных алмаза

по формулам

$$c_A = \frac{4\sqrt{3}a}{3}(C_{11} + 2C_{12}), \quad c_D = \frac{4\sqrt{3}a}{3}(C_{11} - C_{12}) \quad (23)$$

были получены значения жесткостей межатомных связей c_A и c_D (табл. 1).

Для сравнения упругих характеристик лонсдейлита и алмаза необходимо представить тензора жесткости каждого из материалов в базисе другого материала. Представление ортов базиса лонсдейлита в базисе алмаза имеет следующий вид

$$\mathbf{i} = \frac{1}{\sqrt{6}}\mathbf{i}^* - \sqrt{\frac{2}{3}}\mathbf{j}^* + \frac{1}{\sqrt{6}}\mathbf{k}^*, \quad \mathbf{j} = \frac{1}{\sqrt{2}}(-\mathbf{i}^* + \mathbf{k}^*), \quad \mathbf{k} = -\frac{1}{\sqrt{3}}(\mathbf{i}^* + \mathbf{j}^* + \mathbf{k}^*). \quad (24)$$

Орты базиса алмаза в базисе лонсдейлита представимы в виде

$$\mathbf{i}^* = \frac{1}{\sqrt{6}}\mathbf{i} - \frac{1}{\sqrt{2}}\mathbf{j} - \frac{1}{\sqrt{3}}\mathbf{k}, \quad \mathbf{j}^* = -\sqrt{\frac{2}{3}}\mathbf{i} - \frac{1}{\sqrt{3}}\mathbf{k}, \quad \mathbf{k}^* = \frac{1}{\sqrt{6}}\mathbf{i} + \frac{1}{\sqrt{2}}\mathbf{j} - \frac{1}{\sqrt{3}}\mathbf{k}. \quad (25)$$

Здесь \mathbf{i} , \mathbf{j} , \mathbf{k} и \mathbf{i}^* , \mathbf{j}^* , \mathbf{k}^* – орты базисов лонсдейлита и алмаза соответственно. После подстановки выражений (25) в формулу (21) получим представление тензора жесткости алмаза в базисе лонсдейлита

$${}^4\mathbf{C}^D = \frac{1}{6}(C_{11}^{D*} - C_{12}^{D*} - 2C_{66}^{D*})[\mathbf{J}_1 + \mathbf{J}_{23} + \hat{\mathbf{J}}_1 + \hat{\mathbf{J}}_{23} - \mathbf{K} + \sqrt{2}\mathbf{L}] + C_{12}^{D*}\mathbf{J}_1 + C_{66}^{D*}\mathbf{J}_{23}, \quad (26)$$

где

$$\mathbf{L} = \sum_{n=1}^4 \mathbf{L}_n. \quad (27)$$

Здесь и далее отсутствие или наличие символа $'*$ ' указывает на представление данного тензора в базисе лонсдейлита или алмаза соответственно. Индексы L или D у тензора информируют нас о том, что данный тензор выведен для лонсдейлита или алмаза соответственно. Например, ${}^4\mathbf{C}^{L*}$ – тензор жесткости лонсдейлита, представленный в базисе алмаза.

\mathbf{L}_n -ый тензор получается путем добавления орта \mathbf{k} в тензор ${}^3\tilde{\mathbf{I}}$ на позицию, соответствующую индексу n . Тензора \mathbf{L}_1 и \mathbf{L}_4 , к примеру, выглядят следующим образом

$$\mathbf{L}_1 = \mathbf{k} {}^3\tilde{\mathbf{I}}, \quad \mathbf{L}_4 = {}^3\tilde{\mathbf{I}}\mathbf{k}, \quad (28)$$

где

$${}^3\tilde{\mathbf{I}} = \mathbf{iii} - \mathbf{ijj} - \mathbf{jji} - \mathbf{jij}. \quad (29)$$

Кристаллические решетки лонсдейлита и алмаза обладают ковалентной природой взаимодействия между атомами углерода, для которой характерна направленность межатомных связей. Решетки имеют одинаковое межатомное расстояние $a = 0.154$ нм. Эти обстоятельства дают нам право при определении по формулам (19) числовых значений упругих модулей лонсдейлита использовать значения жесткостей межатомного взаимодействия c_A и c_D , вычисленные для алмаза. Если за основу принять данные из [8], которые дают следующие значения жесткостей межатомных связей

$$c_A = 473 \text{ H/M}, \quad c_D = 340 \text{ H/M}, \quad (30)$$

то упругие модули лонсдейлита будут иметь следующие числовые значения

$$C_{11}^L = 1188 \text{ GPa}, \quad C_{12}^L = 91 \text{ GPa}, \quad C_{66}^L = 549 \text{ GPa}, \quad (31)$$

$$C_{13}^L = 51 \text{ GPa}, \quad C_{55}^L = 515 \text{ GPa}, \quad C_{33}^L = 1228 \text{ GPa}.$$

Приведем для сравнения числовые значения координат тензора жесткости алмаза, представленного в азисе лонсдейлита (26)

$$C_{11}^D = 1191 \text{ GPa}, \quad C_{12}^D = 88 \text{ GPa}, \quad C_{66}^D = 551 \text{ GPa}, \quad (32)$$

$$C_{13}^D = 51 \text{ GPa}, \quad C_{55}^D = 514 \text{ GPa}, \quad C_{33}^D = 1227 \text{ GPa}.$$

Анализируя полученные значения упругих модулей лонсдейлита и алмаза, можно сделать вывод о том, что только лишь округления при определении числовых значений жесткостей c_A и c_D , а также расчетного значения C_{66}^{D*} не дают абсолютного совпадения числовых значений.

Также интересно сравнить координаты тензоров жесткости обеих решеток в базисе алмаза. Числовые значения модулей алмаза имеют следующий вид

$$C_{11}^{D*} = 1080 \text{ GPa}, \quad C_{12}^{D*} = 125 \text{ GPa}, \quad C_{66}^{D*} = 588 \text{ GPa}. \quad (33)$$

Значения модулей лонсдейлита выглядят так

$$C_{11}^{L*} = 1145 \text{ GPa}, \quad C_{12}^{L*} = 93 \text{ GPa}, \quad C_{66}^{L*} = 554 \text{ GPa}. \quad (34)$$

Видно, что C_{11}^{L*} больше C_{11}^{D*} на 65 ГПа, C_{12}^{L*} меньше C_{12}^{D*} на 32 ГПа, а C_{66}^{L*} меньше C_{66}^{D*} на 34 ГПа.

4 Заключение

В данной работе была рассмотрена модель кристаллической решетки лонсдейлита при учете моментного взаимодействия между частицами. Аналитически была решена система четырех тензорных уравнений для четырехатомной решетки лонсдейлита. Была установлена связь между макропараметрами C_{12}^L , C_{66}^L , C_{13}^L , C_{55}^L , C_{33}^L и микропараметрами c_A , c_D кристаллической решетки лонсдейлита в безмоментной теории упругости. С использованием числовых значений жесткостей межатомного взаимодействия c_A и c_D решетки алмаза были получены числовые значения упругих характеристик лонсдейлита. Было проведено сравнение упругих модулей лонсдейлита и алмаза. Было показано, что числовые значения модулей решеток в базисе лонсдейлита совпадают, а в базисе алмаза имеют небольшие различия.

5 Приложение. Переход между моментной и безмоментной моделями в трехмерной теории упругости

5.1 Общие формулы

Уравнения динамики в трехмерной линейной механике сплошной среды имеют вид

$$\rho \ddot{\mathbf{u}} = \nabla \cdot \boldsymbol{\tau} + \mathbf{f}, \quad (35)$$

$$\rho \theta \cdot \ddot{\boldsymbol{\varphi}} = \nabla \cdot \boldsymbol{\mu} + \boldsymbol{\tau}_\times + \mathbf{m},$$

где ρ и $\rho\theta$ — плотность массы и тензоров инерции, \mathbf{u} и $\boldsymbol{\varphi}$ — перемещение и поворот элемента среды, $\boldsymbol{\tau}$ и $\boldsymbol{\mu}$ — тензоры силовых и моментных напряжений, \mathbf{f} и \mathbf{m} — объемные силовые и моментные воздействия, $\boldsymbol{\tau}_\times$ — векторный инвариант тензора $\boldsymbol{\tau}$. Если во втором из уравнений динамики (баланс моментов) пренебречь инерцией вращения и моментными воздействиями, то оно вырождается в условие симметричности тензора напряжений:

$$\boldsymbol{\tau}_\times = \mathbf{0} \iff \boldsymbol{\tau} = \boldsymbol{\tau}^T. \quad (36)$$

Для удобства дальнейших выкладок введем правую и левую векторные свертки тензоров произвольного ранга

$$\mathbf{A}_\times \stackrel{\text{def}}{=} \mathbf{A} \cdot \times \mathbf{E}, \quad \times \mathbf{A} \stackrel{\text{def}}{=} \mathbf{E} \cdot \times \mathbf{A}. \quad (37)$$

Согласно определению

$$(\mathbf{abcd})_\times = \mathbf{abc} \times \mathbf{d}, \quad \times(\mathbf{abcd}) = \mathbf{a} \times \mathbf{bcd}. \quad (38)$$

Очевидно, что данные операции понижают на единицу ранг тензора, а для тензора второго ранга они дают векторный инвариант. Будем также использовать обозначение

$$\times \mathbf{A}_\times \stackrel{\text{def}}{=} (\times \mathbf{A})_\times = \times (\mathbf{A}_\times) \implies \times(\mathbf{abcd})_\times = \mathbf{a} \times \mathbf{bc} \times \mathbf{d}. \quad (39)$$

5.2 Нахождение тензора жесткости эквивалентной безмоментной среды

В моментной теории сплошной среды тензор напряжений связан с деформациями соотношением

$$\boldsymbol{\tau} = \mathbf{A} \cdot \cdot \nabla \mathbf{u} + \mathbf{E} \times \boldsymbol{\varphi} + \mathbf{B} \cdot \cdot \nabla \boldsymbol{\varphi}. \quad (40)$$

Для материала, обладающего симметрией не ниже ортотропии $\mathbf{B} \equiv \mathbf{0}$, и соотношение (40) может быть записано в виде

$$\boldsymbol{\tau} = \mathbf{A} \cdot \cdot \nabla \mathbf{u} + \mathbf{A}_\times \cdot \boldsymbol{\varphi} \implies \boldsymbol{\tau}_\times = \times \mathbf{A} \cdot \cdot \nabla \mathbf{u} + \times \mathbf{A}_\times \cdot \boldsymbol{\varphi}. \quad (41)$$

Приравнявая $\boldsymbol{\tau}_\times$ к нулю, выразим из полученного выражения угол поворота среды

$$\boldsymbol{\varphi} = -\times \mathbf{A}_\times^{-1} \cdot \times \mathbf{A} \cdot \cdot \nabla \mathbf{u}. \quad (42)$$

Подставив полученное выражение в формулу для тензора напряжений (32), получим

$$\boldsymbol{\tau} = \mathbf{C} \cdot \cdot \nabla \mathbf{u}, \quad \mathbf{C} \stackrel{\text{def}}{=} \mathbf{A} - \mathbf{A}_x \cdot_x \mathbf{A}_x^{-1} \cdot_x \mathbf{A}. \quad (43)$$

Легко видеть, что для полученного тензора \mathbf{C} выполняется $\mathbf{C}_x = \cdot_x \mathbf{C} = \mathbf{0}$. Действительно

$$\mathbf{C}_x \stackrel{\text{def}}{=} \mathbf{A}_x - \mathbf{A}_x \cdot_x \mathbf{A}_x^{-1} \cdot_x \mathbf{A} - \cdot_x \mathbf{0} = \mathbf{0}. \quad (44)$$

Следовательно тензор \mathbf{C} аполярный, то есть его координаты в декартовом базисе симметричны относительно перестановок 1–2 и 3–4 индексов: $C_{knpr} = C_{nkpr} = C_{knrp}$. Это означает, что тензор напряжений в формуле (32) зависит только от симметричной части тензора деформаций

$$\boldsymbol{\tau} = \mathbf{C} \cdot \cdot (\nabla \mathbf{u})^s. \quad (45)$$

Тензор жесткости \mathbf{C} будем называть тензором жесткости эквивалентной безмоментной среды.

Список литературы

- [1] *Fron del C., U. B. Marvin*// Lonsdaleite, a new hexagonal polymorph of diamond, 1967. Nature 214: 587 - 589
- [2] *Pan Zicheng, Sun Hong, Zhang Yi, Chen Changfeng* Harder than Diamond: Superior Indentation Strength of Wurtzite BN and Lonsdaleite, 2009. Physical Review Letters 102
- [3] *Иванова Е.А., Кривцов А.М., Морозов Н.Ф.* Получение макроскопических соотношений упругости сложных кристаллических решеток с учетом моментных взаимодействий на микроуровне // Прикладная математика и механика, 2007, том 71. вып. 4. с. 595–615.
- [4] *Кривцов А.М.* Упругие свойства одноатомных и двухатомных кристаллов: учеб. пос. - СПб.: Изд-во Политехн. ун-та, 2008. - 124с.
- [5] *Беринский И.Е., Двас Н.Г., Кривцов А.М., Кударова А.М., Кузькин В.А., Ле-Захаров А.А., Лобода О.С., Нейгебауэр И.И., Подольская Е.А.* Упругие и тепловые свойства кристаллов: учеб. пос. - СПб.: Изд-во Политехн. ун-та, 2008. - 135с.
- [6] *Markham H.F.* National Physical Laboratory measurements presented by Musgrave: Diamond conf. (Reading, 1965).
- [7] *McSkimin H. J. and C. Andreatch.*// J. Appl. Phys, 1972, N. 43 2944 - 2948.
- [8] *John J. Gilman.* Origins of the outstanding mechanical properties of diamond.// Springer-Verlag, Mat. Res. Innovat, 2002. V. 6, с. 112 - 117.